

Analiza modeli matematycznych procesu toczenia tytanu WT3-1

Analysis of mathematical models for turning the titanium alloy WT3-1

JÓZEF ZAWORA
 RAFAŁ ŚWIERCZ
 MIECZYŚLAW MARCINIAK
 LUCJAN DĄBROWSKI*

DOI: <https://doi.org/10.17814/mechanik.2017.10.128>

English version available on: www.mechanik.media.pl

Przedstawiono dotychczas opracowane modele matematyczne procesu toczenia wzdłużnego tytanu WT3-1 w postaci wykładniczej i wielomianowej. Modele doświadczalne opracowano statystycznie za pomocą programów krokowej regresji wielokrotnej. Badania wykonano zgodnie z zasadami planowania eksperymentów.

SŁOWA KLUCZOWE: toczenie tytanu, doświadczalne modele matematyczne, ocena statystyczna

Mathematical models for longitudinal turning process of the titanium alloy WT3-1 were presented in this paper, both in the exponential and the polynomial form. The experimental design and the multiple stepwise regression analysis were used to develop the mathematical models.

KEYWORDS: turning of titanium alloys, experiment-based mathematical models, statistical estimation

Tytan i jego stopy należą do materiałów trudno obrabialnych. Z uwagi na specyficzne własności są coraz częściej stosowane w nowoczesnych konstrukcjach lotniczych, kosmicznych, w przemyśle chemicznym, okrętowym, a także w medycynie. Pod względem konstrukcyjnym i technologicznym charakteryzują się:

- wysoką wytrzymałością właściwą,
- dobrą wytrzymałością w podwyższonej temperaturze,
- dużym powinowactwem chemicznym z materiałami stosowanymi na ostrza narzędzi skrawających,
- skłonnością do przywierania cząstek przy obróbce,
- dobrą wytrzymałością w podwyższonej temperaturze,
- niektóre stopy tytanu umacniają się pod wpływem ciepła.

Trwają prace nad nowymi stopami tytanu oraz doskonaleniem procesów wytwarzania [1–4], m.in. poprzez optymalizację [6, 7]. Do optymalizacji procesów wytwarzania niezbędne są doświadczalne modele matematyczne wielkości wyjściowych tych procesów. W artykule przeanalizowano doświadczalne modele matematyczne na przykładzie toczenia tytanu WT3-1.

Planowanie eksperymentów

Badania doświadczalne wykonano według planowanego eksperymentu [5]. Przyjęto pięciopozomowy plan doświadczalny dla 3 zmiennych niezależnych (parametrów skrawania: v_c , f , a_p) i liczby doświadczeń $N = 20$ (tablica). Ustalono następujące zakresy zmiennych niezależnych:

- $v_c \in \langle 10,0 \div 40,0 \rangle$ m/min – prędkość skrawania,
- $f \in \langle 0,05 \div 0,3 \rangle$ mm/obr – posuw,
- $a_p \in \langle 1,0 \div 2,5 \rangle$ mm – głębokość skrawania.

Przyjęto następujące zmienne zależne (wyjściowe): T – trwałość ostrza w min, R_z – parametr chropowatości w μm , według DIN, F_c – siłę skrawania w N, F_f – siłę posuwową w N, F_n – siłę normalną w N, k_c – siłę właściwą skrawania w N/mm^2 , P_c – moc skrawania w kW, Q_v – wydajność mm^3/s .

Badania wykonano na próbkach z tytanu WT3-1 o średnicy $\varnothing 80$ mm i długości $L = 450$ mm. Własności mechaniczne tytanu – według atestu; wytrzymałość na rozciąganie $R_m = 1100$ MPa, wydłużenie $A_5 = 13\%$, twardość – 350 HB.

TABLICA. Plan eksperymentu

Lp.	v_c	f	a_p	Y_{ij}
1	-1	-1	-1	$Y_{1,j}$
2	+1	-1	-1	$Y_{2,j}$
3	-1	+1	-1	$Y_{3,j}$
4	+1	+1	-1	$Y_{4,j}$
5	-1	-1	+1	$Y_{5,j}$
6	+1	-1	+1	$Y_{6,j}$
7	-1	+1	+1	$Y_{7,j}$
8	+1	+1	+1	$Y_{8,j}$
9	$-\rho$	0	0	$Y_{9,j}$
10	$+\rho$	0	0	$Y_{10,j}$
11	0	$-\rho$	0	$Y_{11,j}$
12	0	$+\rho$	0	$Y_{12,j}$
13	0	0	$-\rho$	$Y_{13,j}$
14	0	0	$+\rho$	$Y_{14,j}$
15	0	0	0	$Y_{15,j}$
16	0	0	0	$Y_{16,j}$
17	0	0	0	$Y_{17,j}$
18	0	0	0	$Y_{18,j}$
19	0	0	0	$Y_{19,j}$
20	0	0	0	$Y_{20,j}$

$i = 1, 2, 3, \dots; N$ – numer doświadczenia; $j = T, R_z, F_c, F_f, F_n, k_c, P_c, Q_v$ – zmienne zależne; $\rho = 1,682$ – ramię promienia gwiazdowego.

Stanowisko badawcze zorganizowano na tokarce uniwersalnej. Użyto oprawki hR171.26-2525.1 z wkładkami typu TNMG160308 z węglika wolframu H20 o promieniu zaokrąglenia głównej krawędzi skrawającej $r_n = 0,02$ mm. Kryterium stępienia $VB_B = 0,3$ mm. Zużycie ostrza VB_B mierzono na mikroskopie firmy Zeiss. Parametr R_z (DIN) mierzono metodą przekroju świetlnego. Składowe siły skrawania mierzono siłomierzem tensometrycznym, dokładny czas t – stoperem.

Wykonano pomiary zużycia ostrza VB_B i parametru chropowatości R_z (DIN) w czasie t , jak również pozostałych wielkości wyjściowych. Wiadomo, że wielkości wyjściowe zależą od czasu obróbki t . Czas jest również zmienną wejściową. Aby wprowadzić go jako zmienną wejściową, należałoby znacznie zwiększyć liczbę doświadczeń w planie eksperymentu, co wiąże się z dużymi kosztami.

* Dr hab. inż. Józef Zawora (jzawora@meil.pw.edu.pl), dr inż. Rafał Świercz (rsw@meil.pw.edu.pl), prof. ndzw. dr hab. inż. Mieczysław Marciniak (mima@meil.pw.edu.pl), prof. ndzw. dr hab. inż. Lucjan Dąbrowski (ld@meil.pw.edu.pl) – Politechnika Warszawska

Wobec tego, aby ograniczyć koszty badań, nie wprowadzono czasu t do planu eksperymentu i przyjęto, że doświadczalny model matematyczny procesu będzie reprezentował średnie wartości wielkości wyjściowych z okresu trwałości ostrza T , oprócz trwałości ostrza. Wpływ czasu na wymienione wartości wyjściowe uwzględnia się za pomocą bezwymiarowych charakterystyk. Natomiast wartość zużycia ostrza oblicza się z charakterystyki t/T . Zmiana rzeczywistych wartości wyjściowych procesu toczenia waha się w granicach od kilku do kilkunastu procent wartości średniej. Te charakterystyki przedstawiono w literaturze [7].

Badano trzy typy doświadczalnych modeli matematycznych, które zostały obliczone za pomocą standardowego programu regresji wielokrotnej firmy IBM. Typy te są reprezentowane przez najlepsze równania regresji, które otrzymano w wyniku testów statystycznych. Wyznaczono następujące rodzaje (typy) modeli:

- wykładniczy (model 1),
- wielomianowy drugiego stopnia, wyznaczony w przestrzeni logarytmicznej (model 2),
- wielomianowy drugiego stopnia (model 3).

Wykładniczy model matematyczny procesu toczenia tytanu (model 1)

Wykładniczy model doświadczalny procesu toczenia tytanu został wyznaczony w tradycyjnej postaci reprezentującej iloczyn wartości stałej oraz parametrów skrawania v_c , f , a_p podniesionych do potęg określonych przez wyznaczone wartości wykładników potęgowych. Równania regresji przyjęły następujące postaci:

$$\begin{aligned} T &= 1215225,24 v_c^{-3,75481} f^{-1,54946} a_p^{-1,80973} \\ R_z &= 3,85855 v_c^{-0,03867} f^{1,19883} a_p^{-0,02433} \\ F_c &= 1114,33354 v_c^{-7,9868} f^{399,85219} a_p^{547,1594} \\ F_f &= 529,13073 v_c^{42,31977} f^{126,20841} a_p^{515,41405} \\ F_n &= 554,23064 v_c^{13,395} f^{129,21275} a_p^{28,28986} \\ k_c &= 1191,33354 v_c^{-44,94401} f^{-760,79} a_p^{-333,93578} \\ P_c &= -0,258314 v_c^{0,22637} f^{0,16678} a_p^{0,21919} \\ Q_v &= -105,86434 v_c^{113,23349} f^{104,76219} a_p^{121,64898} \end{aligned}$$

Model matematyczny wielomianowy – drugiego stopnia, wyznaczony w przestrzeni logarytmicznej (model 2)

Model matematyczny wielomianowy drugiego stopnia wyznaczony w przestrzeni logarytmicznej:

$$\begin{aligned} T &= \exp(-27,63387 + 24,48625 \ln v_c - 4,7944 (\ln v_c)^2 + \\ &\quad -1,27045 (\ln f)^2 - 1,38368 \ln v_c \ln f - 2,90711 \ln v_c \ln a_p \\ &\quad - 4,15112 \ln f \ln a_p) \\ R_z &= \exp(7,18022 - 0,67086 \ln v_c + 4,22274 \ln f + 2,32058 \ln a_p + \\ &\quad + 0,13045 (\ln v_c)^2 + 0,6101 (\ln f)^2 - 0,17008 \ln v_c \ln f + \\ &\quad + 2,32058 \ln v_c \ln a_p) \\ F_c &= \exp(4,90773 + 1,54291 \ln v_c + 0,73595 \ln f + 1,21052 \ln a_p + \\ &\quad - 0,25758 (\ln v_c)^2 + 0,03586 (\ln f)^2 + 0,19595 \ln f \ln a_p) \\ F_f &= \exp(6,31418 + 0,04695 \ln v_c + 0,18110 \ln f + \\ &\quad + 0,76477 \ln a_p) \\ F_n &= \exp(6,34640 + 0,87123 \ln f + 2,49853 \ln a_p + 0,04915 (\ln v_c)^2 + \\ &\quad + 0,14585 (\ln f)^2 - 0,62147 (\ln a_p)^2 - 0,49639 \ln v_c \ln a_p + \\ &\quad + 0,14277 \ln f \ln a_p) \\ k_c &= \exp(5,33373 + 5,33373 \ln v_c - 0,24546 (\ln v_c)^2 + \\ &\quad + 0,08456 (\ln f)^2 + 0,08183 \ln f \ln a_p) \end{aligned}$$

$$P_c = \exp(-20725 + 2,50693 \ln v_c + 0,55714 \ln f + 1,25807 \ln a_p + \\ - 0,2517 (\ln v_c)^2 + 0,24779 \ln f \ln a_p)$$

$$Q_v = \exp(2,81332 + \ln v_c + \ln f + \ln a_p)$$

Model matematyczny procesu toczenia tytanu – wielomianowy drugiego stopnia (model 3)

Równania regresji modelu wielomianowego drugiego stopnia:

$$T = 742,46540 - 35,09346 v_c + 1185,57296 f + 150,41033 a_p^2 + \\ + 120,27649 v_c f - 3050,96711 f a_p$$

$$R_z = -0,94492 + 2,73083 a_p + 0,0029 v_c^2 + 185,27477 f^2 + \\ - 0,08074 v_c a_p - 5,96352 f a_p$$

$$F_c = -83,80439 + 15,78098 v_c + 687,41995 f - 0,33955 v_c^2 + \\ - 3496,89070 f^2 + 1876,92407 f a_p$$

$$F_f = 357,93677 + 45,12618 a_p - 5391,17682 f^2 + 1497,35858 f a_p$$

$$F_n = -217,67014 + 7,84018 v_c + 599,66217 f + 405,51536 a_p + \\ + 0,03757 v_c^2 - 84,90886 a_p^2 - 5,20980 v_c a_p + 186,99732 f a_p$$

$$k_c = 3349,89981 + 62,85554 v_c - 12170,84647 f - 201,92721 a_p + \\ - 1,34841 v_c^2 + 21251,59412 f^2$$

$$P_c = 0,12388 - 0,73883 f - 0,12880 a_p - 0,00012 v_c^2 - 1,39102 f^2 + \\ + 0,04134 v_c f + 0,00509 v_c a_p + 0,75952 f a_p$$

$$Q_v = 127,81973 - 5,10876 v_c - 730,14861 f - 73,01747 a_p + \\ + 29,17994 v_c f + 2,9182 v_c a_p + 417,07516 f a_p$$

Analiza modeli matematycznych

Podstawą do analizy wyznaczonych doświadczalnie modeli matematycznych procesu toczenia tytanu był zestawiony w tablicy II zbiór wartości testu Fischera-Snedecora, tj. stosunku wartości F/F_{kr} , za pomocą którego testowano istotność równań regresji we wszystkich typach modeli dla poszczególnych zmiennych wyjściowych procesu, gdzie:

- F – obliczona wartość funkcji F Fischera-Snedecora,
- $F_{kr(\alpha, N-K-1, K)}$ – krytyczna wartość funkcji F ,
- α – przyjęta wartość poziomu istotności funkcji regresji,
- K – liczba stopni swobody licznika [5] równa liczbie współczynników regresji w danym równaniu,
- $N-K-1$ – liczba stopni swobody mianownika [5], gdzie: N – liczba doświadczeń eksperymentu.

W tablicy III zestawiono wartości współczynników korelacji wielokrotnej R dla wybranych najlepszych funkcji regresji poszczególnych wielkości wyjściowych analizowanych modeli matematycznych. Kryteriami wyboru najlepszych funkcji regresji w poszczególnych modelach było uzyskanie przy przyjętym poziomie istotności $\alpha \leq 0,05$:

- możliwie największej wartości testu Fischera-Snedecora $F/F_{kr} \geq 1$ ze zbioru możliwych postaci funkcji regresji,
- możliwie największych wartości zbioru funkcji t -Studenta (testem t -Studenta badano istotność poszczególnych współczynników regresji) dla poszczególnych współczynników wchodzących w skład danego równania regresji, które mogą świadczyć o fizycznym wpływie danego parametru na wielkość wyjściową procesu,
- możliwie dużej wartości współczynnika korelacji wielokrotnej R ,

oraz uwzględnienie w miarę możliwości fizycznego znaczenia parametrów procesu, które są reprezentowane przez odpowiadające im współczynniki korelacji.

Do poszukiwania najlepszych funkcji regresji wykorzystano metodę dołączania zmiennych niezależnych.

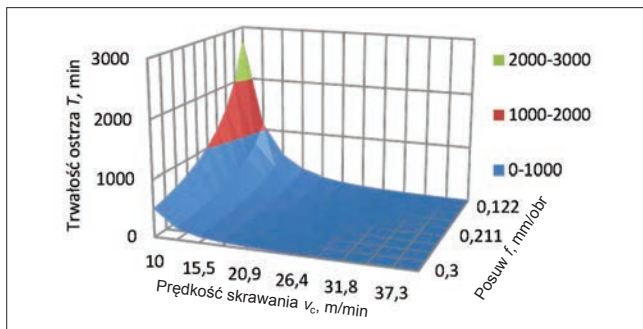
TABLICA II. Wartości testu Fischera-Snedecora dla trzech typów modeli matematycznych – F/F_{kr} ($\alpha, N-K-1, K$)

Model	K	Model 1		Model 2		Model 3	
Zmienna	K	F/F_{kr}		F/F_{kr}		F/F_{kr}	
T	3	3,567	6	6,175	5	1,718	
R_z	3	15,346	7	38,621	5	74,798	
F_c	3	72,562	6	90,995	5	181,885	
F_f	3	6,015	3	6,015	3	7,075	
F_n	3	6,804	7	13,084	7	13,788	
k_c	3	10,604	4	18,151	5	22,215	
P_c	3	140,882	5	234,811	6	78,566	
Q_v	3	>308,746	3	>1000	6	328,748	

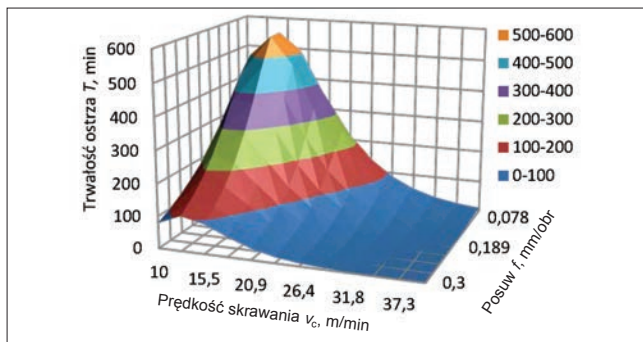
TABLICA III. Wartości współczynników korelacji wielokrotnej R dla trzech typów modeli matematycznych

Model	K	Model 1		Model 2		Model 3	
Zmienna	K	R		R		R	
T	3	0,827	6	0,945	5	0,803	
R_z	3	0,950	7	0,994	5	0,994	
F_c	3	0,989	6	0,996	5	0,997	
F_f	3	0,886	3	8,886	3	0,886	
F_n	3	0,897	7	0,978	7	0,979	
k_c	3	0,930	4	0,969	5	0,942	
P_c	3	0,994	5	0,998	6	0,996	
Q_v	3	1,000	3	1,000	6	0,999	

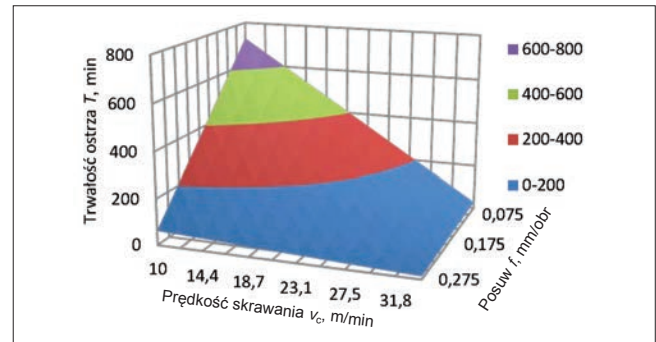
Dla przykładu podano prezentację graficzną przebiegu zależności trwałości ostrza T w funkcji prędkości skrawania v_c oraz posuwu f przy średniej głębokości skrawania a_p dla trzech typów badanych modeli (rys. 1–3). W prezentacji zależności trwałości ostrza w funkcji parametrów obróbki przebieg zmiennych dobrano zgodnie z fizycznym przebiegiem procesu toczenia; najmniejszej prędkości odpowiada maksymalny posuw.



Rys. 1. Zależność trwałości ostrza $T = f(v_c, f)$, w min, przy średniej wartości głębokości skrawania $a_p = 1,75$ mm (model 1)



Rys. 2. Zależność trwałości ostrza $T = f(v_c, f)$, w min, przy średniej wartości głębokości skrawania $a_p = 1,75$ mm (model 2)



Rys. 3. Zależność trwałości ostrza $T = f(v_c, f)$, w min, przy średniej wartości głębokości skrawania $a_p = 1,75$ mm (model 3)

Podsumowanie i wnioski

Przy doborze najlepszej funkcji regresji bardzo przydatne są wskaźniki testu Fischera-Snedecora $F/F_{kr} \geq 1$ oraz testu t -Studenta $t/t_{kr} \geq 1$ dla założonego poziomu istotności α , jednakże nie są one w pełni wystarczające w każdym przypadku. Zdarza się, że mimo spełnienia matematycznych wymagań istotności funkcji wartości funkcji nie mają znaczenia fizycznego w pewnych obszarach przestrzeni (najczęściej granicznych) badanej funkcji. Przykładem mogą być np. ujemne wartości trwałości ostrza lub ujemne wartości parametrów chropowatości R_z lub R_a . Dlatego bardzo pożądane jest sporządzenie tablicy wartości danej wielkości wyjściowej w funkcji fizycznie uzasadnionej zmienności i zakresu parametrów wejściowych (przydatnej do wykonania wykresu przestrzennego), by jednoznacznie ustalić poprawność rezultatów.

Może się zdarzyć, że nieprawidłowe wartości, nie mające sensu fizycznego, występują w każdym kroku działania krokowej regresji wielokrotnej w określonych miejscach badanej przestrzeni parametrów. Należy wówczas zmienić typ modelu, a w razie konieczności ograniczyć zakres zmienności parametrów.

W przedstawionych przykładach analizy trwałości ostrza jako najlepszy należy wybrać model 2. W całej przestrzeni zmienności badanych parametrów wartości funkcji trwałości są rozsądnie dodatnie. Modele 1 i 3 pomimo poprawnych matematycznie wskaźników wykazują pewne obszary graniczne, w których występują nieprawidłowe wartości ujemne w przyjętym zakresie zmienności parametrów. Wobec tego w modelu 1 ograniczono górny zakres prędkości oraz dolny zakres posuwu, natomiast w modelu 3 zmniejszono górny zakres prędkości. Przy rozsądnym doborze zakresu zmienności parametrów modele te mogą być poprawne.

LITERATURA

- Laskowski P., Habrat W., Krupa K., Sieniawski J. „Toczenie wykończeniowe stopu tytanu Ti-Al-4V z zastosowaniem HCP”. *Stal, Metale i Nowe Technologie*. 11–12 (2013): s. 56–62.
- Małecka J. „Stopy tytanu na osnowie faz międzymetalicznych TiAl(g) i Ti₃Al(α₂)”. *Mechanik*. 10 (2013): s. 888–890.
- Oczół K.E. „Kształtowanie ubytkowe tytanu i jego stopów w przemyśle lotniczym i technice medycznej – część I”. *Mechanik*. 9 (2008): s. 888–890.
- Oczół K.E. „Kształtowanie ubytkowe tytanu i jego stopów w przemyśle lotniczym i technice medycznej – część II”. *Mechanik*. 10 (2008): s. 753–756.
- Mańczak K. „Technika planowania eksperymentu”. Warszawa: WNT 1976.
- Pogorzelski W. „Teoria systemów i metody optymalizacji”. Warszawa: OWPW, 1996.
- Zawora J. „Optymalizacja wielokryterialna procesu toczenia tytanu”. *Mechanik*. 9 (2016): s. 1432–1433.